

图1所示。液滴通过注射装置挂在 $\phi 0.2\text{mm}$ 或 $\phi 0.5\text{mm}$ 的镍铬-镍铝热电偶的结点上，此热

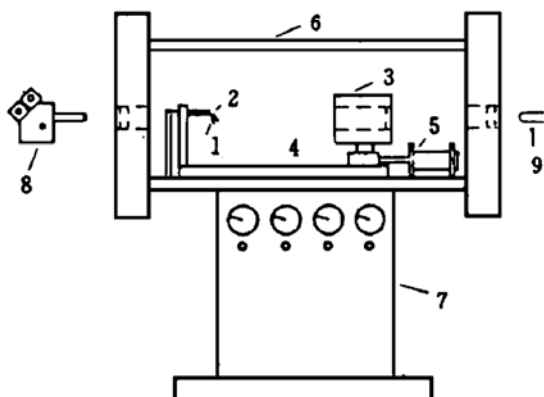


Fig. 1 Scheme of experimental apparatus

- 1. Thermocouple for liquid phase 2. Thermocouple for gas phase
- 3. Electrically heated pipefurnace 4. Swallowtail channel
- 5. Pneumatic apparatus 6. High pressure gas container
- 7. Control table 8. High speed film camera 9. Parallel light source

加热炉，从常温到 1000°C 可调，由一台精密温控仪控制，其精度为 $\pm 1^{\circ}\text{C}$ 。加热炉装在燕尾槽上，它能被气动装置来回推动。

3 微爆特性分析

当LP1846单滴置入高温环境后，其直径随时间的典型变化关系如图2所示。由图可见，液滴体积呈周期性的松盈变化，膨胀周期和频率有一定的随机性。在这个过程中，观察到液滴有轻度微爆现象，并且环境温度越高，微爆过程越早。典型结果如图3所示。可以看出，大液滴内气泡胀大破裂后分离出两个小液滴。另外，液滴从受热到燃尽的全过程中，气液两相热电偶曲线如图4所示。通过对比高速摄影胶片和热电偶曲线的时标可知：图4中的bc段即表示液滴处于周期性膨胀收缩期，它的温度范围约 $120^{\circ}\text{C} \sim 150^{\circ}\text{C}$ 。

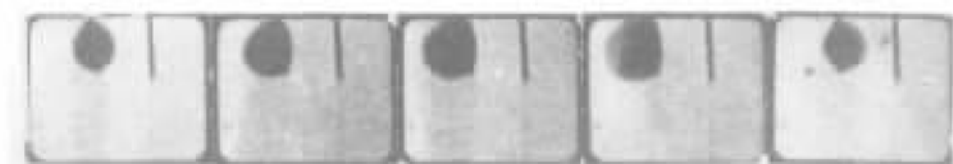


Fig. 3 The series photographs of microexplosion of LP1846 droplet

($T_{\infty}=850^{\circ}\text{C}$, $p_{\infty}=0.1\text{MPa}$)

热失重结果表明：在 120°C 左右LP1846出现第一个较平缓的失重台阶，失重约19.43%；在 170°C 以上，开始出现较大的放热峰^[3]。由此可推测，LP1846液滴在周期性膨胀收缩期内，热分解是很微弱的。据热分析结果^[4]显示，主要是HAN的微弱分解，具有脉动特征，导致液滴出现周期性的膨胀收缩现象。在液滴20~30个膨胀收缩期内，仅观察到1~2次微爆，而

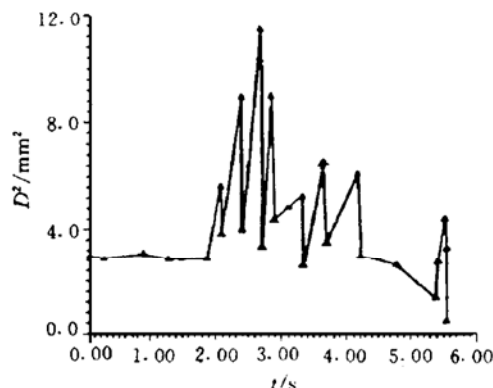


Fig. 2 Relation of D^2 and t

($T_{\infty}=700^{\circ}\text{C}$, $p_{\infty}=0.1\text{MPa}$)

电偶可同时测出液滴的温升。另外，在液滴附近再放置一根 $\phi 0.2\text{mm}$ 的铠装镍铬-镍铝热电偶测量气相的温升。这两根热电偶温度变化信号由紫外线光线示波器记录。管形电

不是多次微爆，因此，结合 LP1846 的组成中含水量达 20%，我们初步认为，液滴微爆机理是水组分的过热，但微弱液相反应起诱导作用。

具体来说，在膨胀收缩期，液滴的平均温度已超过水的沸点，这样过热状态的水必然要从一个核为中心进行快速蒸发。在这里它可能有三个核源：(1) HAN 的微弱热分解在液滴内形成许多极小的气穴，过热水以此为核。(2) 活性水分子团碰撞可能导致均相成核。(3) 由于试验中挂滴热电偶丝有一定的粗糙度和不规则的几何形状，也可能出现非均相成核。经分析比较，我们认为第一种核源的概率最大。因为在液滴内散布着许多小气穴，不断地为过热水蒸发提供机会，若某些气穴周围恰好有大量过热水存在，则它们很容易以此为核向内迅速蒸发形成很高的内压，促使液滴内气泡逐渐胀大，最终爆裂导致液滴破碎。

当环境压力在 0.5MPa 以内，环境温度保持 700°C，仍能观察到类似于图 3 的微爆现象。但是在 0.5MPa 以上，几乎未见到液滴在膨胀收缩期内的微爆过程。这一事实为我们以上微爆机理的假说提供了佐证。因为随着环境压力的升高，助长了 HAN 的微弱热分解，宏观表现为液滴膨胀收缩期提前，而此时液滴相温度大约仅达到水的沸点。这样，在液滴内部难以形成大量过热的水。根据 LP1846 的化学反应机理^[4]推测，此时液滴内的水可能逐步参与到液相反应中去。因此，上述观察结果可以解释为过热组份水导致的液滴微爆机制，随着环境压力的升高而逐渐消失。

4 结 论

在 700°C~850°C、0.1MPa~0.5MPa 工况下，LP1846 液滴在着火前的周期性膨胀收缩过程中会出现明显的微爆现象。微爆机理主要是水组份的过热，但 HAN 的微弱液相反应起诱导作用。当环境压力提高后，在同一时期未观察到液滴的微爆现象。

参 考 文 献

- 1 Zhu D L, Law C K. Combustion of HAN-based liquid gun propellants under atmospheric pressure. *Combustion and Flame*, 1987, 70: 333~342.
- 2 Beyer R A. Atmospheric pressure studies of liquid propellant drops in hot flows. AD A-174639, 1988.
- 3 余永刚, 金志明, 周彦煌. HAN 基液体发射药的热分解研究. *兵工学报 (武器分册)*, 1993 (4): 41~45.
- 4 Hansan R, Back E. Processes for assessing the thermal stability of HAN-based liquid propellants. Report BRL-CR-635, US: BRL, 1990.

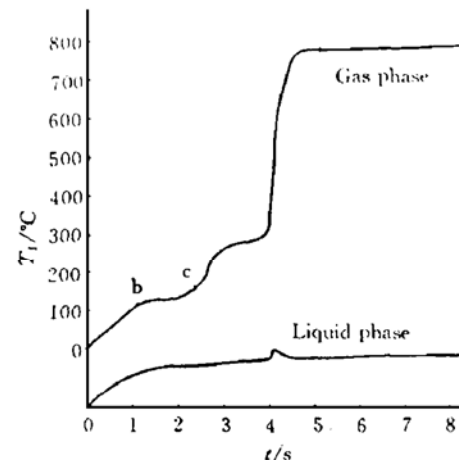


Fig. 4 Thermocouple curves of LP1846 droplet
($T_{\infty} = 800^{\circ}\text{C}$, $p_{\infty} = 0.1\text{ MPa}$)

用固体吸附/分光光度法同时监测空 气中的肼、一甲肼和偏二甲肼^{*}

朱明生

(北京试验技术研究所, 北京, 100074)

摘要: 介绍了用一甲肼浓缩采样管采集空气中三肼混合气体, 用分光光度法分别测出肼、一甲肼和偏二甲肼各组分的含量。测定结果通过标准气验证, 相对误差小于 17%, 各组份回收率均大于 80%。本方法适用于空气中低浓度三肼废气的测定。

主题词: 肼类燃料, 推进剂污染, 大气监测, 吸收光谱分析

分类号: V511, X783

SIMULTANEOUS DETERMINATION OF HYDRAZINE MONOMETHYLHYDRAZINE AND 1, 1-DIMETHYL- HYDRAZINE IN AIR BY SOLID SORBENT/ SPECTROPHOTOMETRIC METHOD

Zhu Mingsheng

(Beijing Inst. of Testing Technology, Beijing, 100074)

Abstract: As the sample of N₂H₄, MMH and UDMH mixture gas in air is collected by sampling tube for concentration MMH, the concentration of N₂H₄, MMH and UDMH is measured simultaneously by spectrophotometer. The experimental results show that the relative error of measurement is less than 17%, and recovery rate of every components is greater than 80% by comparison with the check of standard mixture gas. This method is suitable for detection of low concentration hydrazine fuel waste gas in air.

Subject terms: Hydrazine fuel, Propellant pollution, Atmospheric monitoring, Absorption spectrographic analysis

1 引言

对于监测现场大气中肼类燃料浓度的方法, 已经有过不少报道^[1~7]。但这些方法均不能将同时存在的肼、一甲肼和偏二甲肼加以区别, 即都存在相互干扰的问题。文献 [9] 的气相色谱法可以测定空气中的三肼浓度, 但还达不到美国国家职业安全与卫生研究所 (NIOSH) 推荐的低浓度标准。另外, 该方法系丙酮激冷法采样, 需借助冷阱, 给现场采样增加了困难。本研究目的在于将固体浓缩采样、测定单个肼的技术, 发展成从三肼混合气中分别测出各个肼的含量, 以达到大气监测的要求。

* 收稿日期: 1997-01-30, 修回日期: 1997-07-05, 本课题获航天工业总公司科技进步二等奖